

ПРОЧНОСТЬ ПОЛЫХ ЦИЛИНДРОВ ПРИ ОБЛУЧЕНИИ

Клус С. А.

Введение

В настоящее время элементы конструкций, подвергаемые облучению и неравномерному нагреву, представляют определенный интерес с точки зрения напряженно-деформированного состояния. Учитывая, что в перспективе Республика Беларусь собирается реализовать свою собственную ядерную программу эта проблема является достаточно актуальной.

В данной работе рассматривается напряженно-деформированное состояние осесимметричного цилиндра в условиях объемных термических и радиационных деформаций. Как частный случай рассмотрен бесконечно длинный цилиндр, нагруженный равномерными внешним и внутренним давлениями для которого проведены расчеты напряженно-деформированного состояния представленные в графическом виде.

Постановка задачи

Рассмотрим осесимметричное распределение напряжений и деформаций полого цилиндра в условиях неравномерного нагрева, реакторного облучения, а также под действием равномерного внутреннего и внешнего давлений (рис. 1).

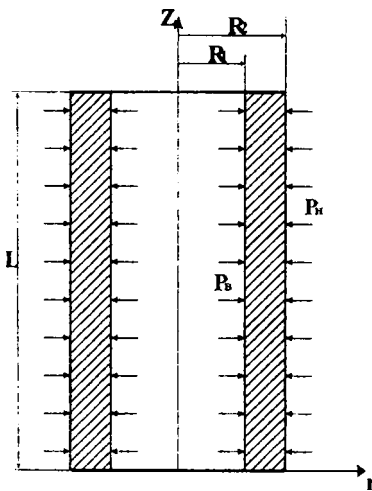


Рис. 1. Пóлый цилиндр, нагруженный внутренним и внешним давлением

Тогда в цилиндрической системе координат \$(r, Z)\$ поле напряжений и деформаций имеет отличные от нуля компоненты \$\sigma_{11}, \sigma_{22}, \sigma_{33}, \epsilon_{11}, \epsilon_{22}, \epsilon_{33}\$ (для упрощения примем \$\sigma_{13}\$ и \$\epsilon_{13}\$ равным нулю). Введем относительные координаты \$\xi = Z/R_1\$ и \$\rho = r/R_1\$, изменяющихся в пределах \$0 \le \xi \le L/R_1\$ и \$1 \le \rho \le R_2/R_1\$, где \$R_1, R_2\$ – внутренний и наружный радиусы цилиндра; \$L\$ – его высота, \$\sigma_{11}, \sigma_{22}, \sigma_{33}, \epsilon_{11}, \epsilon_{22}, \epsilon_{33}\$ – напряжения и деформации соответственно в радиальном, окружном и осевом направлениях.

В данном случае дифференциальные уравнения равновесия имеют вид [1]

$$\begin{aligned} \frac{\partial \sigma_{11}}{\partial \rho} + \frac{\sigma_{11} - \sigma_{22}}{\rho} &= 0, \\ \frac{\partial \sigma_{33}}{\partial \xi} &= 0. \end{aligned} \quad (1)$$

Деформации и перемещения точек цилиндра связаны следующими соотношениями Коши:

$$\epsilon_{11} = \frac{1}{R_1} \frac{\partial u_1}{\partial \rho}; \epsilon_{22} = \frac{1}{R_1} \frac{u_1}{\rho}; \epsilon_{33} = \frac{1}{R_1} \frac{\partial u_2}{\partial \xi}. \quad (2)$$

Физические уравнения с учетом объемных деформаций имеют вид

$$\begin{aligned}\varepsilon_{11} &= \frac{1}{E}[\sigma_{11} - \nu(\sigma_{22} + \sigma_{33})] + \alpha T + \frac{1}{3}S, \\ \varepsilon_{22} &= \frac{1}{E}[\sigma_{22} - \nu(\sigma_{11} + \sigma_{33})] + \alpha T + \frac{1}{3}S, \\ \varepsilon_{33} &= \frac{1}{E}[\sigma_{33} - \nu(\sigma_{22} + \sigma_{11})] + \alpha T + \frac{1}{3}S.\end{aligned}\quad (3)$$

где $T(r, Z)$ предполагается заданной функцией от координат, $S(T(r, Z), \phi, t)$ – радиационное распухание.

Граничные условия:

$$\begin{aligned}\sigma_{11} &= -P_b \text{ при } \rho = 1, \\ \sigma_{11} &= -P_n \text{ при } \rho = R_2 / R_1, \\ \varepsilon_{33} &= 0 \text{ при } \xi = 0; \xi = L / R_1.\end{aligned}\quad (4)$$

Вывод основных формул

Решение задачи будем искать в перемещениях, для чего, согласно (3), выразим напряжения через деформации

$$\begin{aligned}\sigma_{11} &= \frac{E}{(1+\nu)(1-2\nu)}[\nu(\varepsilon_{33} - \varepsilon_{11} + \varepsilon_{22}) + \varepsilon_{11} - (1+\nu)(\alpha T + \frac{1}{3}S)], \\ \sigma_{22} &= \frac{E}{(1+\nu)(1-2\nu)}[\nu(\varepsilon_{33} - \varepsilon_{22} + \varepsilon_{11}) + \varepsilon_{22} - (1+\nu)(\alpha T + \frac{1}{3}S)], \\ \sigma_{33} &= \frac{E}{(1+\nu)(1-2\nu)}[\nu(\varepsilon_{22} - \varepsilon_{33} + \varepsilon_{11}) + \varepsilon_{33} - (1+\nu)(\alpha T + \frac{1}{3}S)].\end{aligned}\quad (5)$$

Подставляя (2) в (5) получим зависимость напряжений от перемещений:

$$\begin{aligned}\sigma_{11} &= \frac{E}{(1+\nu)(1-2\nu)}\left[\frac{\nu}{R_1}\left(\frac{\partial u_2}{\partial \xi} - \frac{\partial u_1}{\partial \rho} + \frac{u_1}{\rho}\right) + \frac{1}{R_1} \frac{\partial u_1}{\partial \rho} - (1+\nu)(\alpha T + \frac{1}{3}S)\right], \\ \sigma_{22} &= \frac{E}{(1+\nu)(1-2\nu)}\left[\frac{\nu}{R_1}\left(\frac{\partial u_2}{\partial \xi} - \frac{u_1}{\rho} + \frac{\partial u_1}{\partial \rho}\right) + \frac{1}{R_1} \frac{u_1}{\rho} - (1+\nu)(\alpha T + \frac{1}{3}S)\right], \\ \sigma_{33} &= \frac{E}{(1+\nu)(1-2\nu)}\left[\frac{\nu}{R_1}\left(\frac{u_1}{\rho} - \frac{\partial u_2}{\partial \xi} + \frac{\partial u_1}{\partial \rho}\right) + \frac{1}{R_1} \frac{\partial u_2}{\partial \xi} - (1+\nu)(\alpha T + \frac{1}{3}S)\right].\end{aligned}\quad (6)$$

С учетом (6) уравнение равновесия (1) примет вид

$$\begin{aligned}\nu \left\{ \frac{\partial^2 u_2}{\partial \rho \partial \xi} - \frac{\partial^2 u_1}{\partial \rho^2} - \frac{u_1}{\rho^2} + \frac{1}{\rho} \frac{\partial u_1}{\partial \rho} \right\} + \frac{\partial^2 u_1}{\partial \rho^2} + \frac{1}{\rho} (1-2\nu) \left(\frac{\partial u_1}{\partial \rho} - \frac{u_1}{\rho} \right) - (1+\nu) \frac{\partial}{\partial \rho} \left(\alpha \frac{\partial T}{\partial \rho} + \frac{1}{3} \frac{\partial S}{\partial \rho} \right) = 0, \\ \nu \left\{ \frac{\partial^2 u_1}{\partial \rho \partial \xi} - \frac{\partial^2 u_2}{\partial \xi^2} + \frac{1}{\rho} \frac{\partial u_1}{\partial \rho} \right\} + \frac{\partial^2 u_2}{\partial \xi^2} - (1+\nu) \frac{\partial}{\partial \xi} \left(\alpha \frac{\partial T}{\partial \xi} + \frac{1}{3} \frac{\partial S}{\partial \xi} \right) = 0.\end{aligned}\quad (7)$$

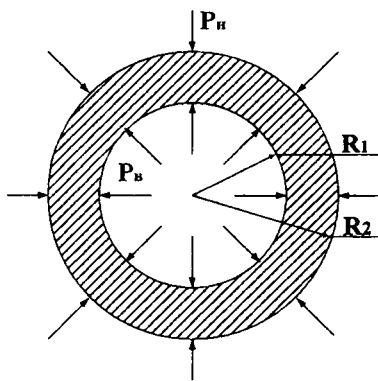
А граничные условия запишутся в следующем виде:

$$\begin{aligned} \frac{E}{(1+\nu)(1-2\nu)} \left[\frac{\nu}{R_1} \left(\frac{\partial u_2}{\partial \xi} - \frac{\partial u_1}{\partial \rho} + \frac{u_1}{\rho} \right) + \frac{1}{R_1} \frac{\partial u_1}{\partial \rho} - (1+\nu) \left(\alpha T + \frac{1}{3} S \right) \right] &= -P_B, \\ \frac{E}{(1+\nu)(1-2\nu)} \left[\frac{\nu}{R_1} \left(\frac{\partial u_2}{\partial \xi} - \frac{\partial u_1}{\partial \rho} + \frac{u_1}{\rho} \right) + \frac{1}{R_1} \frac{\partial u_1}{\partial \rho} - (1+\nu) \left(\alpha T + \frac{1}{3} S \right) \right] &= -P_H, \\ \frac{1}{R_1} \frac{\partial u_2}{\partial \xi} &= 0 \text{ при } \xi = 0; \xi = L/R_1. \end{aligned} \quad (8)$$

Эти формулы были выведены для общего случая определения напряжений и деформаций полого цилиндра в условиях реакторного облучения и неравномерного нагрева. В следующем пункте рассмотрим конкретную задачу для полого бесконечно длинного цилиндра в тех же условиях.

Полый бесконечно длинный цилиндр

Рассмотрим осесимметричное распределение напряжений и деформаций полого бесконечно длинного цилиндра (т.е. $L/R_2 > 15$) в условиях неравномерного нагрева, реакторного облучения, а также под действием равномерного внутреннего и внешнего давлений (рис.1).



Основным отличием бесконечно длинного цилиндра состоит в том, что можно рассматривать не весь цилиндр, а лишь его отдельное сечение (рис. 2).

Тогда в цилиндрической системе координат поле напряжений имеет отличные от нуля компоненты σ_{11} , σ_{22} , ε_{11} , ε_{22} . Для полого открытого цилиндра выполняется условие плоской деформации ($\varepsilon_{33} = 0$).

Тогда для решения задачи запишем следующие уравнения [1-2]

Рис. 2. Сечение цилиндра нагруженного внешним и внутренним давлениями

Дифференциальное уравнение равновесия имеет вид

$$\frac{\partial \sigma_{11}}{\partial r} + \frac{\sigma_{11} - \sigma_{22}}{r} = 0. \quad (9)$$

Деформации и перемещения точек цилиндра связаны следующими соотношениями Коши:

$$\varepsilon_{11} = \frac{\partial u}{\partial r}; \quad \varepsilon_{22} = \frac{u}{r}. \quad (10)$$

Физические уравнения записываются в виде

$$\begin{aligned}
\varepsilon_{11} &= \frac{1}{E}[\sigma_{11} - \nu(\sigma_{22} + \sigma_{33})] + \alpha T + \frac{1}{3}S, \\
\varepsilon_{22} &= \frac{1}{E}[\sigma_{22} - \nu(\sigma_{11} + \sigma_{33})] + \alpha T + \frac{1}{3}S, \\
0 &= \frac{1}{E}[\sigma_{33} - \nu(\sigma_{22} + \sigma_{11})] + \alpha T + \frac{1}{3}S.
\end{aligned} \tag{11}$$

Где $T(r)$ предполагается заданной функцией от координат, $S(T(r), \phi, t)$ функция, зависящая от температуры, времени, заданного нейтронного потока.

ГУ примем следующими:

$$\begin{aligned}
\sigma_{11} &= -P_b \text{ при } r = R_1, \\
\sigma_{11} &= -P_n \text{ при } r = R_2.
\end{aligned} \tag{12}$$

Вывод основных формул

Решение задачи будем искать в перемещениях, для чего, согласно (11), выразим напряжения через деформации

$$\begin{aligned}
\sigma_{11} &= \frac{\nu E}{2\nu^2 + \nu - 1}[\varepsilon_{11} - \varepsilon_{22}] - \frac{E}{2\nu^2 + \nu - 1}\varepsilon_{11} - \frac{E}{2\nu^2 + \nu - 1}(1 + \nu)(\alpha T + \frac{1}{3}S), \\
\sigma_{22} &= \frac{\nu E}{2\nu^2 + \nu - 1}[\varepsilon_{22} - \varepsilon_{11}] - \frac{E}{2\nu^2 + \nu - 1}\varepsilon_{22} - \frac{E}{2\nu^2 + \nu - 1}(1 + \nu)(\alpha T + \frac{1}{3}S).
\end{aligned} \tag{13}$$

Подставляя (10) в (13) получим зависимость напряжений от перемещений:

$$\begin{aligned}
\sigma_{11} &= \frac{\nu E}{2\nu^2 + \nu - 1}\left[\frac{\partial u}{\partial r} - \frac{u}{r}\right] - \frac{E}{2\nu^2 + \nu - 1}\frac{\partial u}{\partial r} - \frac{E}{2\nu^2 + \nu - 1}(1 + \nu)(\alpha T + \frac{1}{3}S), \\
\sigma_{22} &= \frac{\nu E}{2\nu^2 + \nu - 1}\left[\frac{u}{r} - \frac{\partial u}{\partial r}\right] - \frac{E}{2\nu^2 + \nu - 1}\frac{u}{r} - \frac{E}{2\nu^2 + \nu - 1}(1 + \nu)(\alpha T + \frac{1}{3}S).
\end{aligned} \tag{14}$$

С учетом (6) уравнение равновесия (1) примет вид

$$(\nu - 1)\left(\frac{\partial^2 u}{\partial r^2} - \frac{u}{r^2} + \frac{1}{r}\frac{\partial u}{\partial r}\right) + (1 + \nu)\left(\alpha\frac{\partial T}{\partial r} + \frac{1}{3}\frac{\partial S}{\partial r}\right) = 0. \tag{15}$$

ГУ запишутся в следующем виде:

$$\begin{aligned}
\frac{\nu E}{2\nu^2 + \nu - 1}\left[\frac{\partial u}{\partial r} - \frac{u}{r}\right] - \frac{E}{2\nu^2 + \nu - 1}\frac{\partial u}{\partial r} - \frac{E}{2\nu^2 + \nu - 1}(1 + \nu)(\alpha T + \frac{1}{3}S) &= -P_b, \\
\frac{\nu E}{2\nu^2 + \nu - 1}\left[\frac{\partial u}{\partial r} - \frac{u}{r}\right] - \frac{E}{2\nu^2 + \nu - 1}\frac{\partial u}{\partial r} - \frac{E}{2\nu^2 + \nu - 1}(1 + \nu)(\alpha T + \frac{1}{3}S) &= -P_n.
\end{aligned} \tag{16}$$

Решение задачи конечноразностным методом

Для решения задачи используем шаговый метод по времени, одновременно решая на каждом временном шаге уравнение (15) методом конечных разностей с учетом ГУ (16).

Разностное уравнение будет иметь вид

$$(\nu - 1) \left(\frac{u_{i+1} - 2u_i + u_{i-1}}{h^2} - \frac{u_i}{r_i^2} + \frac{1}{r_i} \frac{u_i - u_{i-1}}{h} \right) + (1 + \nu) \left(\alpha \frac{T_i - T_{i-1}}{h} + \frac{1}{3} \frac{S_i - S_{i-1}}{h} \right) = 0. \quad (17)$$

Уравнение (17) записано для внутренних точек области, ограниченными точками 0 и n. ГУ примут следующий вид:

$$\begin{aligned} \frac{\nu E}{2\nu^2 + \nu - 1} \left[\frac{u_1 - u_0}{h} - \frac{u_0}{r_0} \right] - \frac{E}{2\nu^2 + \nu - 1} \frac{u_1 - u_0}{h} - \frac{E}{2\nu^2 + \nu - 1} (1 + \nu) \left(\alpha T_0 + \frac{1}{3} S_0 \right) &= -P_B, \\ \frac{\nu E}{2\nu^2 + \nu - 1} \left[\frac{u_n - u_{n-1}}{h} - \frac{u_n}{r_n} \right] - \frac{E}{2\nu^2 + \nu - 1} \frac{u_n - u_{n-1}}{h} - \frac{E}{2\nu^2 + \nu - 1} (1 + \nu) \left(\alpha T_n + \frac{1}{3} S_n \right) &= -P_H. \end{aligned} \quad (18)$$

В качестве примера выполнен расчет полого бесконечно длинного цилиндра с данными, приведенными в табл. 1.

Таблица 1

R1, м	0,003
R2, м	0,006
E, МПа	1,50E+05
λ , Вт/(м К)	18
q_v , Вт/м ³	2,20E+09
α , град ⁽⁻¹⁾	1,83E-06
P_H , МПа	16
P_B , МПа	25
T_s , К	300
ϕ , нейтр/(см ⁽²⁾ ч)	2,81E+19

Где E – модуль упругости, λ – коэффициент теплопроводности, q_v – объемное тепло-выделение, α – коэффициент линейного расширения материала цилиндра, T_s – температура наружной поверхности цилиндра, ϕ – нейтронный поток.

Термическая функция задается следующим образом:

$$T(r) = T_s + \frac{q_v}{4\lambda} (R_2^2 - r^2). \quad (19)$$

Функция радиационного распухания имеет вид

$$S(r, t) = 4.9 \cdot 10^{-51} (\phi t)^{1.71} 10^{\frac{1.549 \cdot 10^4}{T_s} - \frac{5.98 \cdot 10^6}{T^2(r)}}. \quad (20)$$

Решение разностных уравнений (17) (18) в системе Mathcad 2000 Professional с использованием формул для распределения температуры в цилиндре (19) и радиационного распу-

хания (20), а так же формул для напряжений (14), строим график зависимости напряжений от радиуса цилиндра рис. 3.

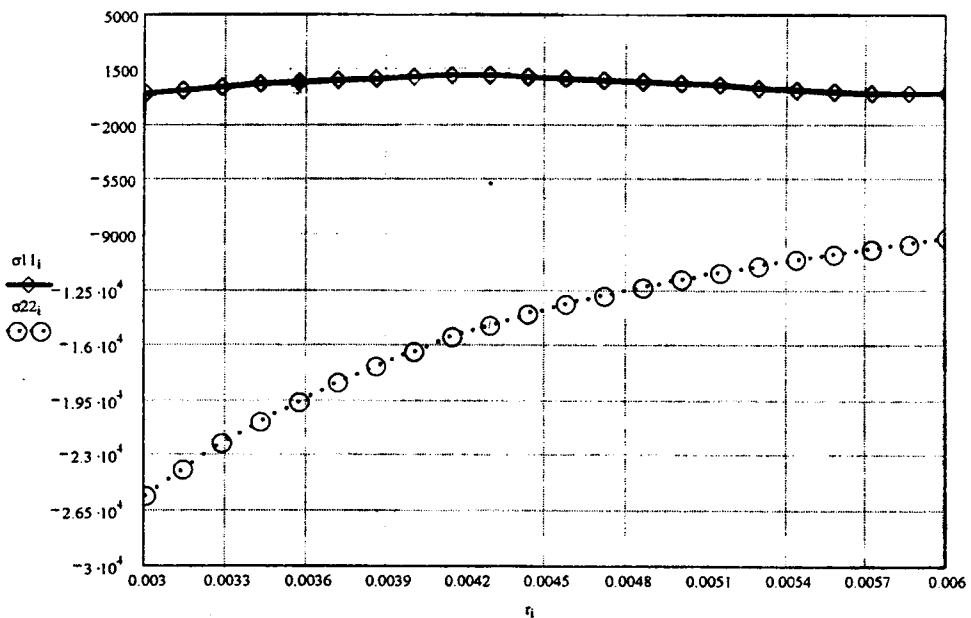


Рис. 3. Распределения по радиусу радиальных и окружных напряжений при $t = 1000$

Полученные данные (рис.3) показывают, что в любой момент времени можно получить поле терморadiационно упругих напряжений по сечению цилиндра и найти точки их максимальных значений с последующей оценкой несущей способностью цилиндра.

Заключение

Данный алгоритм решения поставленной задачи позволяет производить расчеты упруго-напряженно-деформированного состояния длинных полых цилиндров при значительных объемных изменениях, вызванных неравномерным нагревом и нейтронным облучением.

ЛИТЕРАТУРА

1. Куликов, И.С., Нестеренко, В.Б., Тверковкин, Б.Е. Прочность элементов конструкций при облучении. – Мн.: Наука и техника, 1990.
2. Куликов, И.С., Тверковкин, Б.Е. Прочность тепловыделяющих элементов быстрых газоохлаждаемых реакторов. – Мн.: Наука и техника, 1984.